

# بررسی عملکرد مبدل انرژی WaveStar تحت پارامترهای امواج دریای خزر با شبیه‌سازی امواج منظم و نیروی فرود کریلوف

پویا یوسفی خیابانی<sup>۱</sup>، محمد امین عباسزاده<sup>۲</sup>، علیرضا خورشید غازانی<sup>۳</sup>، میر محمد اتفاق<sup>۴\*</sup>

<sup>۱</sup> کارشناس مهندسی مکانیک، دانشگاه تبریز؛ P.yousefikhiabani@modares.ac.ir

<sup>۲</sup> کارشناس مهندسی مکانیک، دانشگاه تبریز؛ Mohammad.amin.abbaszadeh@gmail.com

<sup>۳</sup> کارشناس مهندسی مکانیک، دانشگاه تبریز؛ A.khorshid94@tabrizu.ac.ir

<sup>۴</sup> دانشیار مهندسی مکانیک، دانشگاه تبریز؛ Ettefagh@tabrizu.ac.ir

## چکیده

دریای خزر در یکی از کم ارتفاع‌ترین نقاط منطقه، ما بین عرض‌های جغرافیایی  $۳۶^{\circ}۳۴'$  و  $۴۷^{\circ}۱۳'$  شمالی واقع گردیده است. مساحت و عمق قابل توجه دریای خزر، پتانسیل مطلوب انرژی را فراهم آورده است. این پژوهش به تحلیل و تعیین کارکرد مکانیزم توربین WaveStar به عنوان یکی از مبدل‌های انرژی امواج با ساختاری شناور در آبهای این دریا می‌پردازد. نیروهای هیدرودینامیکی وارد از امواج با ارتفاع و پریودهای معین، بر اجزای غوطه‌ور مورد بررسی و تحلیل قرار گرفته است. همچنین در ادامه، با استفاده از محاسبه‌ی فرانس، پروفیل و سرعت موج و حل معادله‌ی دینامیکی برای سازه‌ی شبیه‌سازی شده، پاسخ ارتعاشی سازه تحت امواج منظم استوکس مورد مذاقه قرار گرفته است. تأثیر تغییر طول بازو، تغییر قطر بالشتک، تغییر دوره تنابع موج و نهایتاً تغییر ارتفاع موج بر پاسخ سازه و گشتاور وارد بر آن با شبیه‌سازی همزمان تئوری امواج منظم و با استفاده از نیروی فرود کریلوف بخش اصلی مقاله را تشکیل می‌دهد.

## اطلاعات مقاله

تاریخچه مقاله:

تاریخ دریافت مقاله: ۱۳۹۴/۰۳/۰۵

تاریخ پذیرش مقاله: ۱۳۹۵/۰۵/۳۱

کلمات کلیدی:

مبدل انرژی WaveStar

نیروهای هیدرودینامیکی امواج

امواج منظم

دریای خزر

پاسخ ارتعاشی

## Investigation of WaveStar Energy Converter Performance in Caspian Sea Using Regular Wave and Froude-Krylov Force

Pooya Yoosefi Khiabani<sup>1</sup>, Mohammad Amin Abbaszadeh<sup>2</sup>, Alireza Khorshid<sup>3</sup>,  
Mir Mohammad Ettefagh<sup>4\*</sup>

<sup>1</sup> B.Sc, Faculty of Mechanical Engineering, University of Tabriz, Tabriz, Iran

<sup>2</sup> B.Sc, Faculty of Mechanical Engineering, University of Tabriz, Tabriz, Iran

<sup>3</sup> B.Sc, Faculty of Mechanical Engineering, University of Tabriz, Tabriz, Iran

<sup>4</sup> Associate Professor, Faculty of Mechanical Engineering, University of Tabriz, Tabriz, Iran

## ARTICLE INFO

Article History:

Received: 26 May 2015

Accepted: 21 Aug. 2016

Keywords:

WaveStar Energy Converter

Hydrodynamic Forces

Regular Waves

Caspian Sea

Vibration Response

## ABSTRACT

Caspian Sea is one of the most low-lying areas of the region which is located between latitudes  $36.34^{\circ}$  and  $47.13^{\circ}$  north. Its considerable vast area and depth have provided an opportunity to gain renewable energy by different methods. This paper analyzes the performance and mechanism of a floating wave energy converter known as WaveStar, in the above-mentioned sea. Different parts of mechanism are examined under hydrodynamic forces of waves with certain periods and amplitudes. By using the frequency parameters, profile and velocity of the waves; and solving the governing dynamic equations for the model, the vibration response of system has been derived. The main part of this study is the investigation of the effect of changing the arm length, float diameter, wave period and wave amplitude on the structure using regular wave with Froude-Krylov force.

## ۱- مقدمه

به سیستم‌های شناور دارند، اما نمی‌توان از مسائل زیست محیطی آن‌ها در سواحل دریایی خزر، چشم‌پوشی نمود. نکته‌ی مهم دیگر اینکه با توجه به کوچک‌بودن دامنه‌ی امواج دریایی خزر، سیستم‌های Overtopping نمی‌توانند بهره‌وری قابل قبولی در این دریا داشته باشند. لکن سیستم‌هایی که با دامنه‌ی متغیر امواج دریا به استحصال انرژی امواج می‌پردازند، از هر جهت برای کاربری در دریایی خزر مناسب هستند [۷].

بهترین مکانیزم مورد بهره‌برداری خاصه در حوضه‌ی جنوبی این دریا با عنایت به ویژگی‌های آب و هوایی و پروفیل امواج، دستگاه‌های جاذب نقطه‌ای هستند. مکانیزمی که علاوه بر پیچیدگی کمتر تکنولوژیکی، دسترسی و قیمت تولید کمتری نیز دارد [۷]. ساختار این سازه‌ها بر مبنای بالشتک‌های شناوری استوار است که با انرژی پتانسیل امواج دریا به حرکت در می‌آیند؛ جنبش‌های نوسانی‌ای که در راستای افقی یا عمودی بوده و یا ناشی از دوران جسم غوطه‌ور در آب می‌باشد. این حرکات می‌توانند از اندرکنش نیروهای هیدرودینامیکی امواج و سازه نشأت بگیرند، به طوریکه در این تجهیزات با افزودن بر تعداد بالشتک‌های شناور می‌توان بهره‌مندی از پتانسیل آب را افزایش داده و با تحلیل حرکت اجسام شناور ناشی از نیروهای اندرکنشی، مقدار انرژی استحصالی را محاسبه نمود. از نمونه‌های مکانیزم جاذب نقطه‌ای، می‌توان به مبدل‌های مدل WaveStar<sup>۱</sup> اشاره کرد [۱۲].

طی دهه‌های گذشته، تقدا و تحقیق در رابطه با کارایی و بهره‌وری افتتاح این ریزی به طور متمرکزی افزایش یافته است، در حالیکه برآورد نیروهای وارد بر سازه علی‌رغم اهمیت بالا به جهت قابلیت اعتماد سازه تحت امواج طوفانی، چندان مورد اهمیت و تفقد قرار نگرفته است [۲].

گستره‌ی مکانیزم‌های مبدل‌های انرژی بسیار زیاد بوده و اکثر این تجهیزات در مرحله‌ی تحقیقات و توسعه قرار دارند. از این رو اطلاعات مربوط به هر یک از آن‌ها بسیار محدود و اطلاعات تجربی موجود نیز بعض‌اً غیر قابل اعتماد و بر مبنای تجربیات کوتاه مدت است [۲]. طراحی مبدل‌ها بر مبنای بارهای هیدرودینامیکی وارد از سمت امواج طوفانی، طراحی سازه‌های شناور مبدل‌های انرژی در اکثر مواقع بر مبنای نیروهای محلی انجام می‌گیرد [۲].

این مقاله در ابتدا با عنایت به مشخصه‌های امواج دریایی خزر و با توجه به ساختار توربین WaveStar، به باز طراحی مکانیزم این مبدل انرژی می‌پردازد. به عبارت دیگر ابعاد مناسب توربین مورد استفاده در دریایی خزر برای استحصال بهتر انرژی استخراج شده است. در ادامه با تمرکز بر تعیین پارامترهای فرکانس، پروفیل و

قدرت تولیدی انرژی امواج دریا به دلیل چگالی زیاد آن (۲ الی ۳ کیلووات بر متر مربع) نسبت به دو انرژی تجدیدپذیر خورشیدی (۰/۱ kW/m<sup>2</sup>-۰/۶ kW/m<sup>2</sup>) و بادی (۰/۲-۰/۴ m<sup>2</sup>/s) اعظمی‌تر و قابل اعتمادتر است [۱].

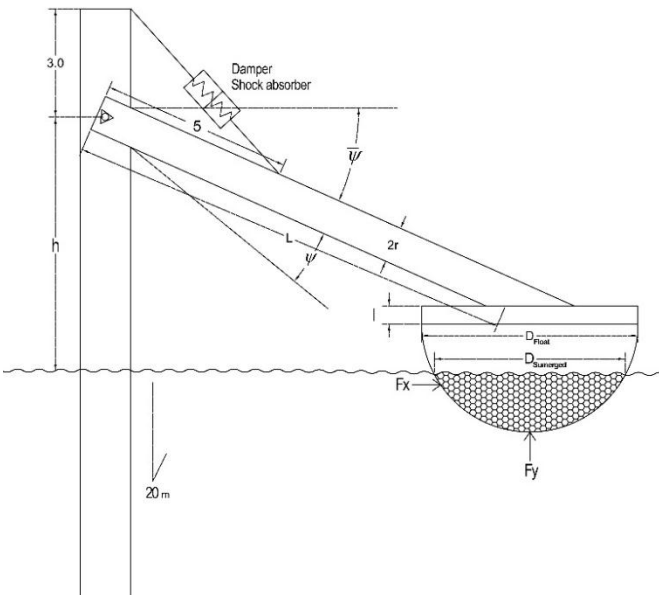
طی سالیان اخیر طیف گسترده‌ای از تجهیزات استحصال انرژی از امواج دریا معرفی و توسعه یافته‌اند و تعداد زیادی از مبدل‌های انرژی با مکانیزم‌های مختلف طراحی و ارائه شده‌اند و برخی از آن‌ها نیز به صورت آزمایشی مورد بهره‌برداری قرار گرفته‌اند. برخلاف آن چه پیرامون همگرایی مفاهیم مکانیزم‌های استحصال انرژی در بخش باد به وقوع پیوسته، انرژی امواج هنوز به مفهوم بنیادین مشخصی برای استحصال بهینه‌ی انرژی دست نیافته است. این احتمال وجود دارد که در آینده با توجه به مشخصات مزارع امواج، مفاهیم و مکانیزم‌های متفاوتی جهت استحصال انرژی، بسته به شرایط محیطی به صورت پایدار معرفی و بهینه‌سازی شوند [۲]. در حال حاضر ۸۰ فن‌آوری برای تبدیل انرژی امواج در سطح جهان وجود دارد که با توجه به موقعیت، اساس کارکرد و اندازه‌ی مبدل‌های انرژی، به دسته‌های متعددی طبقه‌بندی می‌شوند [۳][۴][۵][۶].

در این میان تا کنون کشور ایران علی‌رغم وجود کمربند دریایی شمال (دریایی خزر) و جنوب (خليج فارس و دریای عمان) نقش چندانی در استحصال انرژی امواج ایفا نکرده است. به طوریکه دریایی خزر با دارا بودن پتانسیل بالای انرژی امواج به عنوان بزرگ‌ترین دریاچه‌ی جهان با مساحت ۴۳۶ هزار و ۳۴۰ کیلومتر مربع، و با عمق حدود ۱۸۰ تا ۱۰۰۰ متر در حوضه‌ی جنوب همچنان بدون توجه پژوهشگران و به تبع آن سرمایه‌گذاران قرار گرفته است [۷].

با توجه به داده‌های فضایی، یک جریان چرخشی بزرگ خلاف عقربه‌های ساعت (از راست به چپ) در دریایی خزر وجود دارد [۸]. این جریان چرخشی به مثالبی دستگاه گردش خون بدن انسان عمل می‌کند [۷] و باعث ایجاد امواج های با توان بالا در این دریا شده است. توان متوسط این دریا در حدود ۱۴ کیلووات/متر می‌رسد [۹]. در حالیکه در آبهای استوایی، میزان توان متوسط، علی‌رغم تغییرات فصلی، بین ۱۵ تا ۲۰ کیلووات/متر می‌باشد و در مناطق استوایی کشورهای مختلف با احداث مزارع امواج متعدد اقدام به استحصال انرژی امواج دریا می‌نمایند [۱۱].

دریایی خزر با داشتن یک بستر تخت تقریباً نرم سیلیکاتی، جزو سایت‌هایی است که قابلیت بهره‌مندی از تجهیزات فراساحلی با کابل‌های متصل به کف دریا را ندارد. علاوه بر این، علی‌رغم این که تجهیزات ساحلی هزینه‌ی تعمیر، نگهداری و نصب پایین‌تری نسبت

<sup>۱</sup>. (<http://www.wavestarenergy.com>)



شکل ۱ - نمای فنی توربین waveStar

چنانچه در شکل ۱ مشاهده می‌شود، سازه‌ی مورد بررسی از اتصال بالشتکی به قطر معلوم و بازوی متصل به محور اصلی توربین تشکیل شده است. قطر بالشتک،  $D_{\text{Float}}$ ، قطر شناوری بالای بالشتک،  $D_{\text{Submerged}}$ ، قطر بازو برابر  $2r$ ، ارتفاع استوانه‌ی نیم‌کره‌ی بالای بالشتک  $l$ ، طول بازو  $L$ ، ارتفاع پایه بالاتر از تراز آب میانگین ( $1 \text{ MWL}$ )، زاویه‌ی تعادل استاتیکی بازو باافق  $\bar{\psi}$  و زاویه‌ی نوسان بازو و بالشتک  $\psi$  است. به طوریکه یک میرا کننده و یک فنر به عنوان سیستم PTO<sup>۱</sup> برای کنترل هرچه بهتر ارتعاشات ناشی از اندرکنش موج و سازه مورد استفاده قرار گرفته است. این مکانیزم، سیستمی یک درجه آزادی بوده و زاویه‌ی نوسان و سرعت بازوی آن به جهت طراحی در استحصال انرژی از اهمیت ویژه‌ای برخوردار است.

با توجه به اطلاعات منتشره در مرجع [۱۴] و با عنایت به سه مدل ارائه شده در مرجع [۱۵] که بهره‌وری توربین مورد نظر با ابعاد واقعی را در آبهای با عمق ۲۰ متر، مطلوب گزارش نموده بودند؛ عمق آب ۲۰ متر برای نمونه‌ی موردی در دریایی خزر انتخاب شد. مدل اصلی به کار گرفته شده توسط تیم تحقیقاتی دانشگاه آلبورگ [۱۶] به ترتیب بخاطر مقاومت قابل توجه در برابر خودگی آب دریا و در مقابل تنש‌های دینامیکی وارد، جنس بالشتک فایبرگلاس و جنس بازو فولادی تعیین گردید و از آن جا که چگالی کلی بالشتک و بازو به جهت شناوری باید کمتر از چگالی آب دریا باشد، سازه‌ی مورد نظر توخالی انتخاب شد.

سرعت موج، معادلات دینامیکی و ارتعاشی آن تحت امواج شبیه‌سازی شده استخراج و پاسخ‌های ارتعاشی مبدل ارائه می‌گردد. توزیع نیروهای واردہ بر سازه با عنایت به مشخصات امواج منظم تحت تعریف دو تئوری ایری و استوکس مرتبه‌ی پنجم محاسبه شده است. نیروهای اعمالی نیز در جای جای مقاله با نیروی فرود کریلوف مدل‌سازی شده‌اند. مقدار نیروهای واردہ بر سازه در بازه‌های زمانی متعینه با توجه به پریود موج، اسباب ایجاد پاسخ‌های متفاوت ارتعاشی را فراهم می‌آورد که تحت نرم افزار MATLAB شبیه‌سازی شده است. از دیگر سو، تأثیر تغییر پارامترهای امواج دریا و ابعاد سازه در عملکرد مبدل WaveStar نیز به صورت مطول و با ارائه گراف‌های مستخرج از نرم‌افزار فوق الذکر ارائه گردیده و مورد تحلیل قرار گرفته است.

## ۲- معرفی مبدل انرژی WaveStar

تجهیزات موسوم به مبدل انرژی WaveStar نخستین بار توسط انستیتو تحقیقات دانشگاه Aalborg، طراحی، معرفی و ارائه گردیده است. مدل مکانیزم WaveStar به صورت تجهیزات نزدیک ساحل، جاذب‌های نقطه‌ای انرژی، و به صورت سازه‌های شناور است. ساختار مکانیکی شناور به اندازه کافی بالاتر از سطح آب قرار می‌گیرد، به طوری که حتی مرفوع ترین امواج دریا نیز نمی‌توانند به سازه آسیبی برسانند [۱۳].

دستگاه بر اساس دو ردیف شناور که همه توسط اهرم‌هایی به شفت محوری متصل و مقید گردیده‌اند با یاتاقان‌های یکطرفه کار می‌کند. مشابه روش مورد استفاده در توربین بادی، شفت اصلی مبدل انرژی از طریق یک جعبه دنده به یک ژنراتور متصل است و ژنراتور خطی را به آرامی به گردش در می‌آورد؛ حداقل طول ردیفی بالشتک‌ها در مقیاس طول موج و برابر آن می‌باشد. سیستم از اتصال تعداد متعددی سازه و بالشتک به صورت ردیفی به یک محور دوران، تشکیل شده است. هنگام عبور موج، اولین شناور به دلیل خاصیت شناوری به سمت بالا حرکت می‌نماید و بدین ترتیب شفت با حرکت دورانی خود، موجب به حرکت در آمدن ژنراتور می‌گردد. زمانی که سرعت بیشتر از سرعت دورانی شفت باشد، اهرم‌ها و بازویهای متصل به شفت قفل می‌کنند و دستگاه از کار می‌افتد [۱۳]. این در حالیست که مقاله‌ی پیش رو در صدد بررسی عملکرد یک شاخه از سیستم سازه‌ای WaveStar است.

شکل ۱ مکانیزم نمونه‌ی موردی بررسی شده را نشان می‌دهد که در آن بالشتکی با بهره‌گیری از مکانیزم WaveStar، غوطه‌ور در آب، با کنش در قبال نیروهای هیدرودینامیکی وارد از سمت امواج دریا، به استحصال انرژی می‌پردازد. این سازه‌ی شامل جرم، فنر، دمپر و مشکل از یک بازو و بالشتک نیم‌کره که در بالای آن استوانه‌ای قرار دارد، و پایه‌ای که به بستر دریا متصل است، می‌باشد.

$$V_{\text{submerged}} = \int_{\varphi_0}^{\pi/2} \int_0^a \int_0^{2\pi} r^2 \cos(\theta) d\theta dr d\varphi \\ = \frac{2\pi(a)^3}{3} \sin(\varphi_0) \left| \frac{\pi}{2} \right| \quad (5)$$

$$\sin(\varphi_0) = \frac{(a - h_{\text{submerged}})}{a} \quad (6)$$

$$(a_{\text{submerged}})^2 + (a - h_{\text{submerged}})^2 = (a)^2 \quad (7)$$

که در روابط فوق  $h_{\text{submerged}}$  ارتفاع پایه بالاتر از  $\text{MLW}$  ارتفاع غوطه‌وری بالشتک در آب،  $V_{\text{submerged}}$  حجم غوطه‌وری بالشتک،  $\varphi$  و  $\theta$  مشخصات مختصات کروی است. از تعادل استاتیکی حول مفصل بازو رابطه زیر حاصل می‌شود.

$$\sum M_0 = 0 \rightarrow (m'' g. L/2. \cos \bar{\psi}) + (mg. L. \cos \bar{\psi}) \\ = V_{\text{Submerged}}. \rho_{\text{Seawater}}. g. L. \cos \bar{\psi} \quad (8) \\ \rightarrow V_{\text{Submerged}}. \rho_{\text{Seawater}} = m + \frac{m''}{2}$$

ضخامت بالشتک برابر  $0.6$  و ضخامت بازو  $0.5$  متر تعیین گردید. از طرفی برای محاسبه جرم افزوده از رابطه (۹) استفاده می‌کنیم که در آن  $m'$  جرم افزوده،  $\rho$  چگالی آب و  $C_A$  ضریب جرم افزوده است که مطابق با مرجع [۲۰] برابر  $0.5$  معین شد.

$$m' = \rho C_A V_{\text{Submerged}} = 950 l(3a^2 - 2al + 6l^2) \quad (9)$$

مان اینرسی حول مفصل بازو به قرار رابطه (۱۰) است:

$$I = (m + m')L^2 + \frac{1}{3} m''L^2 \quad (10)$$

ضریب سختی نوسان heave مبدل چنان که در شکل ۲ آمده است، بسته به اندازه‌ی قطر انتخابی برای مبدل انرژی با استفاده از (۱۱) محاسبه می‌گردد که در آن  $a_{\text{Submerged}}$  شعاع غوطه‌وری بالشتک است.

$$K_{\text{Seawater}} = \pi a_{\text{Submerged}}^2 \rho g \quad (11)$$

چنانچه در شکل ۲ نشان داده شده است علاوه بر ضرایب بازگردانندگی و میرایی آب، نیازمند تعریف این ضرایب  $C_{\text{Damper}}$  و  $K_{\text{Shockabsorber}}$  در سیستم PTO برای کنترل برخورد سازه با پایه‌ی نگهدارنده‌ی اجزای غوطه‌ور هستیم، که بسته به فرکانس طبیعی آن و نسبت میرایی به سیستم اعمال می‌گردد.

### ۳- استخراج مشخصات فیزیکی و هیدرودینامیکی مبدل انرژی و امواج دریا به صورت پارامتریک

بر اساس مطالعات انجام گرفته [۱۷]، در حوضه‌ی جنوبی دریای خزر (سواحل ایران) دوره تناوب موج (T) در بازه‌ی ۲ الی ۸ ثانیه و ارتفاع موج ( $H_s$ ) ما بین  $0.5$  تا  $3$  متر بسته به فصول مختلف، متغّر است [۱۸][۷].

با توجه به پروفیل امواج دریای خزر در حوضه‌ی جنوبی و با در نظر گرفتن درصد عمومیت پذیری و میانگین‌گیری از داده‌های استحصالی سازمان بنادر و دریانوردی در فاز دوم مدل‌سازی امواج دریاهای ایران، پریود و ارتفاع موج به ترتیب  $5s$  و  $1/75m$  جهت مطالعه در نمونه‌ی مورد بررسی لحاظ گردید. چگالی دریای خزر در دمای محیط  $25^\circ\text{C}$ ، حدود  $560 \text{ g/m}^3$  بیش از استاندارد چگالی آب دریاهای جهان است. این مقدار چگالی برای آب دریا، معلوم وجود مقادیر جزیی  $\text{Ca}^{2+}$ ,  $\text{Mg}^{2+}$  و  $\text{SO}_4^{2-}$  محلول در آب است [۱۹]. چگالی استاندارد آب‌های آزاد  $1025 \text{ kg/m}^3$  در نظر گرفته شد. جرم بالشتک و بازو بترتیب از روابط (۱) و (۲) استخراج می‌گردد.

$$m = 1900[V_{\text{Hollow hemisphere}} + V_{\text{cylinder}}] \quad (1) \\ = 1900 \left[ \frac{2}{3} \pi (a^3 - (a-l)^3) + \pi a^2 l \right]$$

$$m'' = 7850[V_{\text{Arm}}] = 7850[\pi(r^2 - (r-e)^2)L] \quad (2)$$

در رابطه (۱)،  $m$  جرم بالشتک،  $V_{\text{Hollow hemisphere}}$  حجم بالشتک،  $V_{\text{cylinder}}$  حجم استوانه بالای آن،  $l$  ارتفاع همان استوانه و  $a$  شعاع بالشتک است.

و در (۲)  $m''$  مقدار جرم بازو،  $V_{\text{Arm}}$  حجم بازوی توخالی،  $L$  طول بازو و  $e$  ضخامت بازو است.

بدیهی است که چگالی مجموع بالشتک و بازو باید از چگالی آب دریا کمتر باشد. از این رو برای محاسبه مقدار این چگالی جهت باز طراحی، به معادلات (۳) دست یافته شد.

$$\frac{m + m''}{V} < \rho_{\text{Seawater}} \rightarrow \\ \frac{1900 \left[ \frac{2}{3} \pi (a^3 - (a-l)^3) + \pi a^2 l \right] + 7850[\pi(r^2 - (r-e)^2 \times L)]}{\left( \frac{2}{3} \pi a^3 + \pi a^2 l \right) + (\pi r^2 L)} < \rho_{\text{Seawater}} = 1025.560 \quad (3)$$

میزان زاویه‌ی تعادل استاتیکی به صورت پارامتریک به قرار رابطه (۴) و شعاع غوطه‌وری بالشتک در حالت تعادل استاتیکی تنها به مقدار جرم سازه بستگی داشته و از حل رابطه‌های (۵) الی (۷) به دست آمده است.

$$\sin \bar{\psi} = \frac{h - (l + a - h_{\text{submerged}})}{L} \quad (4)$$

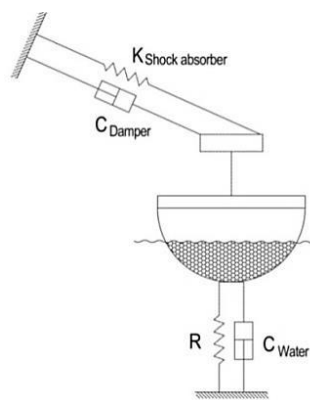
امواج واقعی ناشی از باد منظم نیستند و ماهیتی تصادفی دارند. با این وجود اکثر روش‌های تحلیل و طراحی سازه‌های فراساحلی مبتنی بر امواج منظم هستند [۲۱][۲۲]. در واقع تئوری‌های موج منظم شرایط واقعی را به شکل تقریبی مدل‌سازی می‌کنند، به طوریکه این تقریب برای اکثر اهداف مهندسی رضایت‌بخش است [۲۲]. تئوری موج منظم ایری، در محاسبات امواج مفروضی که ارتفاع آن‌ها در مقایسه با طول موج و عمق آب انداز است به کار می‌رود [۲۱]. زمانی که انجام محاسبات دقیق‌تر ضروری است، برای آن دسته از امواج طراحی که طولشان کمتر از حدود ۱۰ برابر عمق آب است باید از تئوری موج منظم استوکس استفاده شود [۲۳][۲۴]. به عبارت دیگر به علت کند بودن همگرایی سری در آب کم عمق محدوده کاربرد این تئوری در آب‌هایی است که عمق نسبی آن‌ها بزرگ‌تر از حدود ۰/۱ است [۲۳][۲۴]. چنین شرایطی معمولاً در امواج طوفانی که در طراحی جاذبه‌های فراساحلی انرژی مدنظر قرار می‌گیرد برقرار است [۲۰].

یکی از ویژگی‌های اصلی تئوری استوکس که نسبت به تئوری ایری دقیق‌تر است، این است که این تئوری مقداری بزرگ‌تری برای دامنه تاج موج در مقایسه با تئوری ایری ارائه می‌دهد. در واقع می‌توان گفت تئوری ایری قبل اعمال بر روی امواجی است که اختلاف دامنه‌ی تاج آن‌ها با آنچه توسط تئوری‌های دقیق‌تر تعیین شده است، از یک درصد بیشتر نباشد [۲۰]. بر این اساس می‌توان محدوده‌ای از مقادیر نسبت بلندی به طول موج را مشخص نمود که در آن محدوده، انتظار می‌رود نتایج به دست آمده از تئوری موج ایری دقت قابل قبولی داشته باشد. به عبارت دقیق‌تر شاخص انتخاب یکی از دو تئوری ایری و استوکس در آب‌های عمیق‌تر (همچون رکورد حاضر) نسبت ارتفاع به طول موج است [۲۱][۲۵] و به ازای نسبت‌های ارتفاع آب به طول موج بیشتر از ۰/۶۵ باید از تئوری استوکس استفاده کرد [۲۳].

از این رو با توجه به ویژگی‌های موج نمونه موردي و با استفاده از نمودارهای داده شده در مراجع [۲۳] و [۲۴] تئوری مناسب برای مدل‌سازی موج منظم، تئوری استوکس مرتبه‌ی پنجم است. با عنایت به محتاطانه بودن تئوری فرود کریلوف نسبت به تئوری تفرق از بُعد طراحی، نیروی تحریک امواج دریای خزر بر بالشتک از تئوری مذکور محاسبه گردید. از تئوری موج استوکس دامنه‌ی مؤلفه‌های افقی و قائم سرعت و شتاب ذرات آب از [۲۰] به قرار روابط (۱۳) و (۱۴) محاسبه گردید.

$$u_0 = 0.093 \left[ \frac{m}{s} \right], v_0 = 0.025 \left[ \frac{m}{s} \right] \quad (13)$$

$$u'_0 = 0.118 \left[ \frac{m}{s^2} \right], v'_0 = 0.013 \left[ \frac{m}{s^2} \right] \quad (14)$$



شکل ۲ - شماتیک سیستم جرم، فنر، دمپر

ابعاد سازه طوری باز طراحی می‌شوند که اولاً فرکانس تحریک به فرکانس طبیعی سازه نزدیک باشد تا نوسان بالشتک به حالت تشید نزدیکتر شده و مسبب افزایش دامنه‌ی نوسان شود. اگر فرکانس طبیعی سازه از فرکانس تحریک کمتر باشد می‌توان با افزودن فنر در سیستم PTO مقدار فرکانس طبیعی را افزایش داد تا به فرکانس تحریک نزدیک گردد. نتیجتاً اگر میرایی آب برای کنترل نوسانات و جلوگیری از برخورد بالشتک به پایه کافی نباشد، نیاز به استفاده از میراکننده در سیستم PTO سازه خواهد بود که باید بررسی شود. ثانیاً زاویه‌ی تعادل استاتیکی ( $\bar{\Psi}$ ) کم باشد تا بالشتک امکان نوسان بیشتر را داشته باشد. ثالثاً در مقابل نیروهای وارد از طرف موج مقاومت لازم را داشته باشد. فرکانس تحریک ( $\omega$ ) و فرکانس طبیعی سازه ( $\omega_n$ ) از رابطه (۱۲) حاصل می‌شود.

$$\omega = \frac{2\pi}{T}$$

$$\omega_n = \sqrt{\frac{K_{Caspian Seawater} \cdot L^2 \cdot \cos^2 \bar{\Psi}}{I}} = \sqrt{\frac{\pi \rho g \cdot a_{submerged} \cdot \cos \bar{\Psi}}{m + m' + \frac{m''}{3}}} \quad (12)$$

که در آن  $\omega$  فرکانس تحریک و  $\omega_n$  فرکانس طبیعی سازه است. بدین ترتیب ابعاد مناسب سازه برای نمونه‌ی موردي دریای خزر به قرار زیر محاسبه شدند:

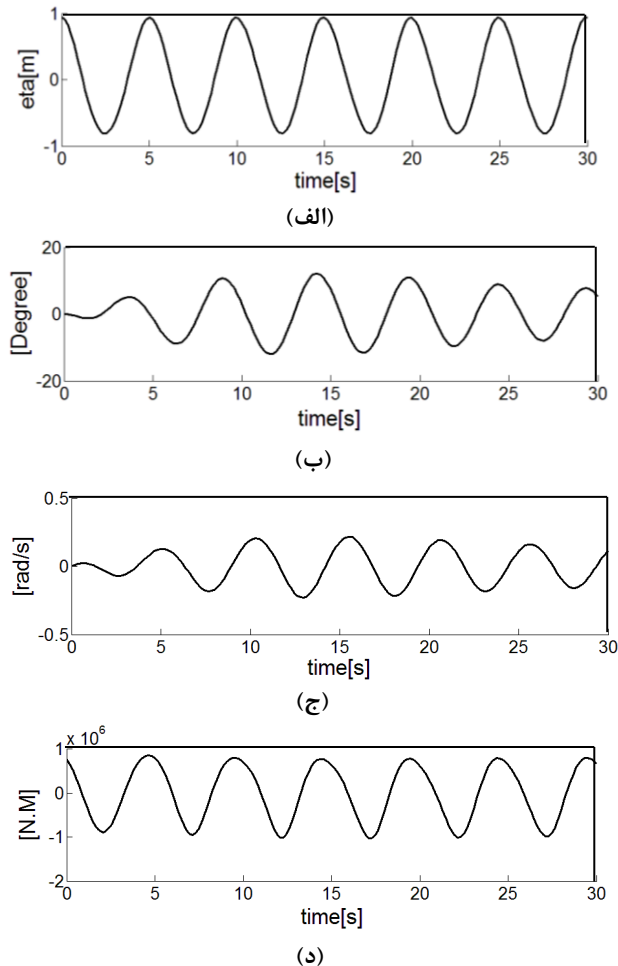
$$a = 3 \text{ m}, l = 0.6 \text{ m}, L = 10 \text{ m}, r = 0.5 \text{ m},$$

$$e = 0.05 \text{ m}, h = 6 \text{ m}$$

زاویه‌ی تعادل استاتیکی به جهت ارضاء امکان نوسانات بیشینه‌ی سازه تا حدود  $44^\circ$ ، با توجه به جنس و ابعاد سازه برای  $\bar{\Psi} = 28.31^\circ$  است.

برای انتخاب میراگر مناسب برای سیستم تبدیل انرژی مکانیکی به انرژی الکتریکی (PTO) به منظور کنترل نوسانات نیازمند محاسبه‌ی نیروهای وارد از طرف موج بر بالشتک هستیم. با توجه به ویژگی‌های موج نمونه موردي به انتخاب تئوری موج منظم مناسب برای مدل‌سازی موج می‌پردازیم. بدیهی است که

توربین بر حسب زمان برای کنترل برخوردهای احتمالی، سرعت زاویه‌ای و گشتاور مستخرج از نیروی امواج بر حسب زمان به ترتیب در شکل‌های ۳-الف تا ۳-د برای کاربرد نمونه‌ی موردی در آبی به عمق ۲۰ متر ارائه گردیده است.



شکل ۳ - عملکرد مبدل انرژی بر حسب زمان

(الف): پروفیل آب (امواج منظم تحت تئوری استوکس مرتبه‌ی پنجم)

(ب): زاویه نوسان بازو (کنترل برخورد)

(ج): سرعت زاویه‌ای بازو

(د): گشتاور وارد بر بازو

چنانکه در شکل ۳-الف مشاهده می‌شود، پروفیل موج تحت پریود ۵ ثانیه و ارتفاعی به طول ۱/۷۵ متر به نوسان در آمده است. این حرکت منظم اسباب تغییر زاویه‌ی نوسانات بازو و بالشتک را در ثانیه‌های اولیه‌ی نوسان و در حالت ثابت فراهم می‌آورد. شکل ۳-ب جهت کنترل برخورد احتمالی ارائه شده است تا میزان تغییر نوسانات زاویه‌ای سازه، ناشی از نیروهای هیدرودینامیکی، حول مفصل بازو مخرب نباشد. آنچنان که مشاهده می‌گردد مقدار بیشینه‌ی زاویه‌ی نوسان تحت شرایط مذکور ۱۴/۷۳ درجه است.

مؤلفه‌های افقی و قائم نیروهای هیدرودینامیکی وارد بر سازه از رابطه‌ی (۱۵) و مؤلفه‌ی گشتاورهای افقی، قائم و گشتاور کل به ترتیب از رابطه‌های (۱۶) و (۱۷) به دست می‌آید [۲۰][۲۶]. در روابط ذیل،  $C_V$  و  $C_H$  ضرایب نیروی افقی و قائم،  $C_1$  و  $C_2$  پارامترهای فرکانس و  $k$  عدد موج است.

$$F_x = C_H \rho V [u_0 + C_1(ka)\omega v_0] \quad (15)$$

$$F_y = C_V \rho V [v_0 + C_2(ka)\omega u_0] \quad (16)$$

$$M_0 = M_1 + M_2 \quad (17)$$

ضریب میرایی آب نیز با استفاده از نمودارهای ارائه شده در مراجع [۲۷] و [۲۸] به قرار زیر تعیین می‌شود.

$$C_{\text{Seawater}} = 23.677 \left[ \frac{\text{KN} \cdot \text{s}}{\text{m}} \right] \quad (18)$$

#### ۴- معادله‌ی دینامیکی ارتعاشات سازه و شبیه‌سازی پاسخ ارتعاشی سازه

از آنجا که نیروهای اندرکنش آب و سازه، مقادیر ثابتی نداشته و با گذشت پریودهای زمانی مختلف مقادیر آن تغییر می‌کند؛ برای تحلیل دینامیکی نیروهای وارد بر سیستم مولد انرژی، نیازمند تعیین معادله‌ی دینامیکی حاکم بر اجزای غوطه‌ور هستیم.

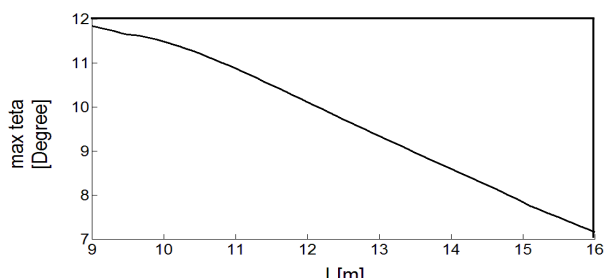
از این رو برنامه‌ای با استفاده از کد نویسی در محیط نرم‌افزار MATLAB جهت پیش‌بینی عملکرد دینامیکی و ارتعاشی توربین WaveStar با مدل‌سازی تئوری‌های امواج منظم و نیروی فرود-کربلوف برای تعیین نیروهای بر هم کنش آب و سازه نوشته شد. شایان ذکر است که از بین تئوری‌های امواج منظم نیز به دو تئوری ایری و استوکس مرتبه‌ی پنجم اکتفا شده است. در نهایت برای حل معادله‌ی ارتعاشی تحت نیروهای مستخرج از نیروی فرود کربلوف تحت دستور ode45 در نرم‌افزار MATLAB استفاده شده است.

معادله‌ی دینامیکی ارتعاشات سازه طبق رابطه‌ی (۱۹) استخراج و وارد تابع عملگر ode45 گردید.

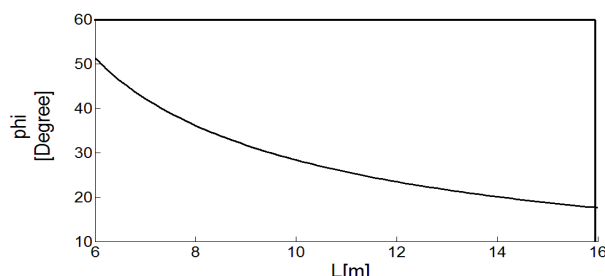
$$I\ddot{\Psi} + C_{\text{Torsion,eq}}\dot{\Psi} + K_{\text{Torsion,eq}}\Psi = M_0 e^{i(\delta - \omega t)} \quad (19)$$

که در آن  $I$  ممان اینرسی سازه،  $C_{\text{Torsion,eq}}$  ضریب میرایی نوسان pitch حول مفصل بازو و  $K_{\text{Torsion,eq}}$  ضریب سختی نوسان pitch حول مفصل بازو است. (ضریب میرایی و سختی چرخش حول مفصل بازو)

ارتعاشات سازه‌ی باز طراحی شده تحت دو تئوری فوق الذکر و توسط برنامه‌ی مذکور مورد تحلیل قرار گرفته است که نتایج آن به صورت پروفیل مدل شده‌ی آب دریای خزر، زاویه‌ی نوسانات بازوی



(ج)



(د)

شکل ۴ - تأثیر تغییر طول بازو بر عملکرد مبدل انرژی

- (الف): بیشترین گشتاور وارد بر بازو
- (ب): بیشترین سرعت
- (ج): بیشترین جابجایی
- (د): زاویه‌ی تعادل

نکته‌ی قابل توجه در شکل‌های ۴-ب و ۴-ج این است که، افزایش طول بازو باعث کاهش بیشینه‌ی سرعت و جابجایی شده و این ممکن است به دلیل ماهیت توربین‌های WaveStar مناسب نباشد؛ لذا یک حالت بهینه را بسته به ماهیت توربین و نحوه‌ی عملکرد آن از نمودارهای بدست آمده می‌توان پیش‌بینی نمود. به عنوان مثال اگر ایجاد گشتاور بالا و در عین حال بیشینه‌ی جابجایی بازو مد نظر طراحان باشد طول بهینه بازو می‌تواند در محدوده‌ی ۹ الی ۱۱ متر انتخاب گردد. بدیهی است با افزایش طول بازو، زاویه‌ی تعادل و احتمال برخورد شناور و دیواره‌ی نگهدارنده به ترتیب کاهش و افزایش می‌یابد (شکل ۴-د).

شکل ۵ نتایج مربوط به تأثیر تغییر قطر شناور بالشتک بر پاسخ ارتعاشی توربین را با فرض ثابت بودن طول بازو نشان می‌دهد.

در شکل ۵-الف مشاهده می‌شود که با افزایش قطر بالشتک گشتاور اعمالی به بازو افزایش می‌یابد، بطوریکه با  $1/5$  برابر کردن آن گشتاور وارد شده حدود ۵ برابر شده است. البته بررسی نمودارهای بعدی نشان دهنده‌ی این است که همواره افزایش قطر بالشتک منجر به تغییر سرعت زاویه‌ای ماکریم بازو با یک نرخ ثابت نخواهد بود و تغییر در قطر بالشتک با تغییرات سرعت بازو رابطه‌ی غیر خطی دارد. هر چند در نهایت، در این محدوده از قطر بالشتک با افزودن بر شعاع کره غوطه‌ور در آب هر دو مشخصه‌ی

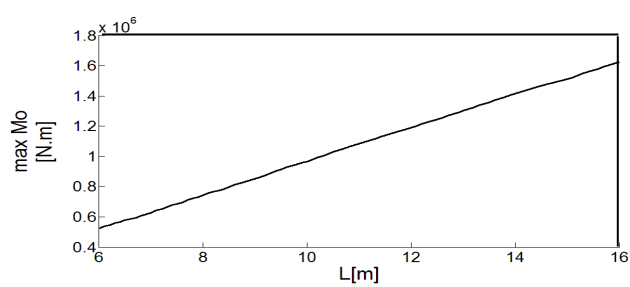
شکل ۳-ج میزان تغییرات سرعت و شکل ۳-د تغییرات گشتاور وارد بر توربین بسته به پروفیل موج استوکس مرتبه‌ی پنجم و نیروی فرود کریلوف را بر حسب زمان نشان می‌دهد. بیشینه گشتاور اعمالی حول مفصل، تحت حل تحلیلی برابر  $۹۵۴/۷$  [kN.m] به دست آمده است.

## ۵- بررسی تأثیر تغییر پارامترهای معین سازه و امواج دریا در عملکرد مبدل انرژی

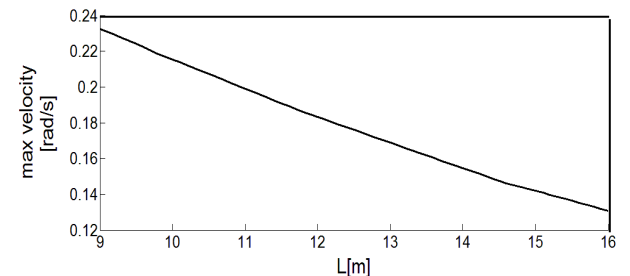
در طراحی سازه‌ی WaveStar مناسب با مشخصات دریایی خزر، نیازمند علم بر میزان تأثیر تغییر در پارامترهای سازه و دریا در عملکرد بهینه‌ی مبدل انرژی در راستای افزایش استحصال انرژی هستیم. از این رو در ادامه به بررسی تأثیر تغییر مقادیر طول بازو و قطر شناور از طرفی، و پریود و ارتفاع موج از طرف دیگر پرداخته شده است. در این بخش با تغییر یک پارامتر و ثابت نگه داشتن سایر مشخصات موج یا سازه، پاسخ ارتعاشی سیستم را به این تغییرات به دست آورده شده است.

گراف‌های شکل ۴ نتایج مربوط به بررسی تغییرات طول بازو بر پاسخ ارتعاشی سازه‌ای با قطر بالشتک ۶ متر تحت موج با پریود ۵ ثانیه و ارتفاع  $۱/۷۵$  متر در عمق ۲۰ متر، را نشان می‌دهند.

همان طور که در شکل ۴-الف دیده می‌شود با افزایش طول بازو گشتاور وارد شده به آن به صورت خطی افزایش می‌یابد و این نشان دهنده‌ی این است که برای استحصال گشتاور بیشتر، بهتر است که زاویه‌ی تعادل با افق کمینه مقدار ممکن باشد. از این رو یکی از مهم‌ترین پارامترهای بهینه‌سازی می‌تواند افزایش طول بازو جهت استحصال بیشتر نیرو باشد.



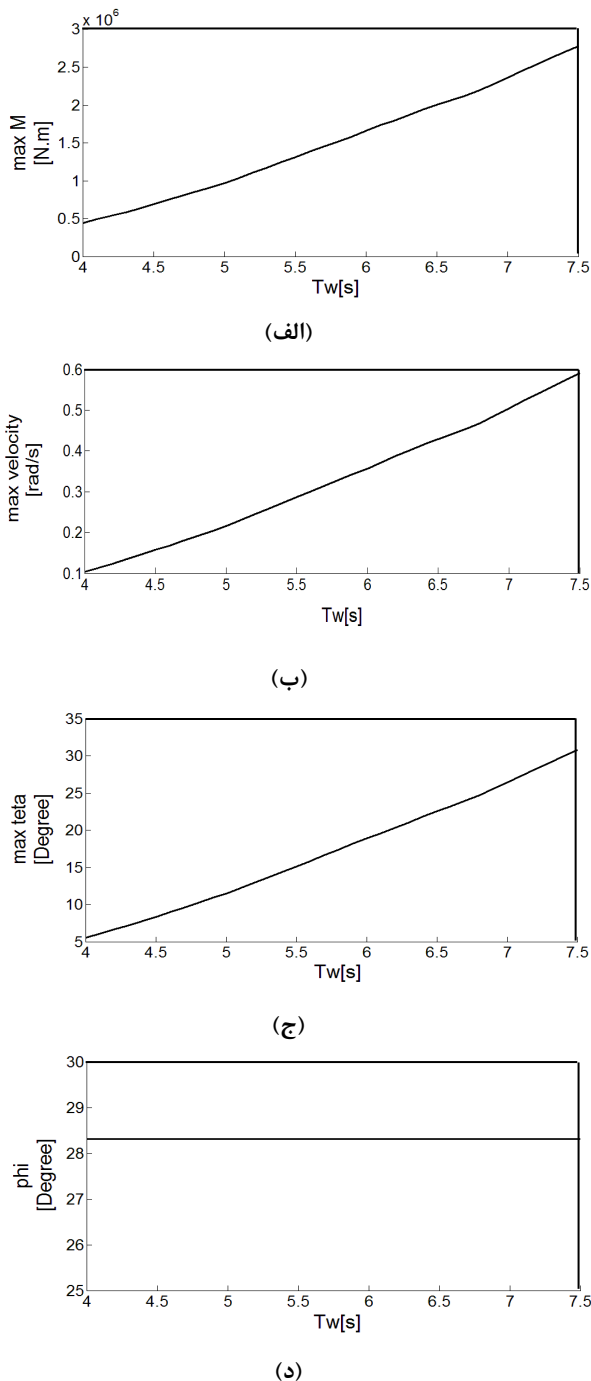
(الف)



(ب)

قطورتر شدن شناور، زاویه‌ی تعادل کاهش می‌یابد. قطر بالشتک تأثیر قابل توجهی در برخورد بالشتک سازه با پایه‌ی نگهدارنده نداشته، هر چند افزایش بیش از حد آن نیز می‌تواند تا حدودی از برخوردهای احتمالی جلوگیری کند.

نتایج حاصل از بررسی تأثیر تغییرات دوره‌ی تناوب امواج دریا بر پاسخ ارتعاشی در شکل‌های ۶-الف تا ۶-د ارائه شده است.



شکل ۶ - تأثیر تغییرات دوره‌ی تناوب موج بر عملکرد مبدل انرژی

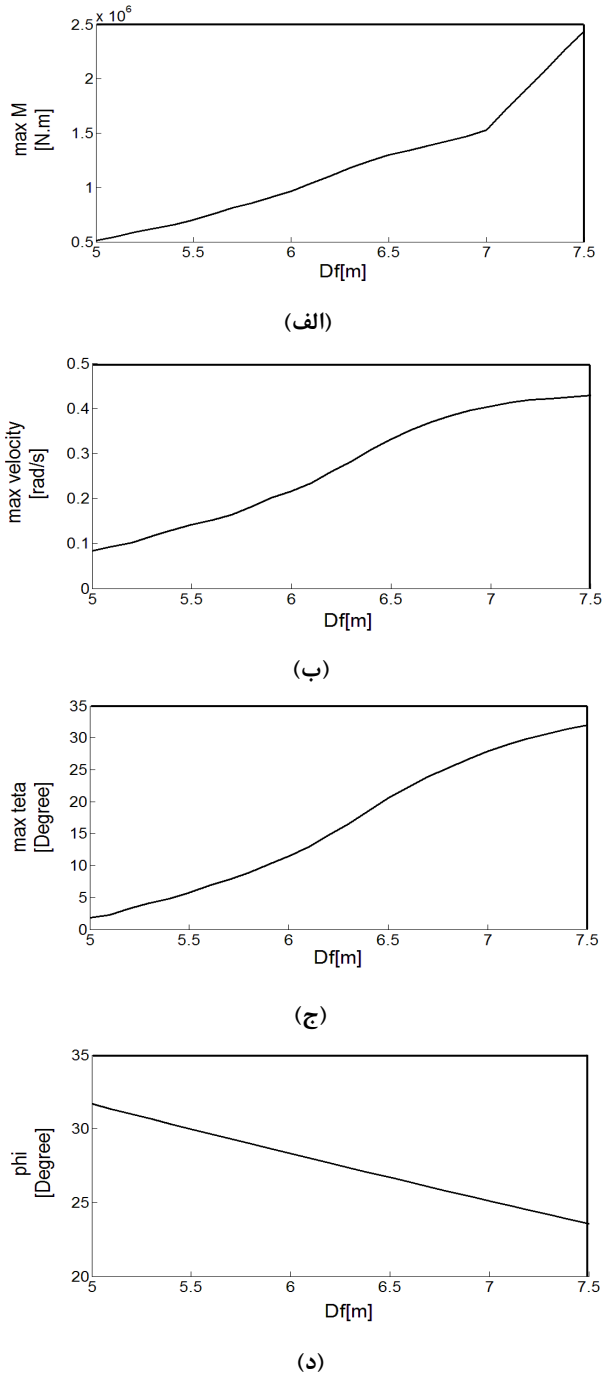
(الف): بیشترین گشتاور وارد بر بازو

(ب): بیشترین سرعت

(ج): بیشترین جابجایی

(د): زاویه‌ی تعادل

گشتاور تولیدی و سرعت زاویه‌ای نوسان افزایش می‌یابند. (شکل ۵-ب).



شکل ۵ - تأثیر تغییر قطر شناور بر عملکرد مبدل انرژی

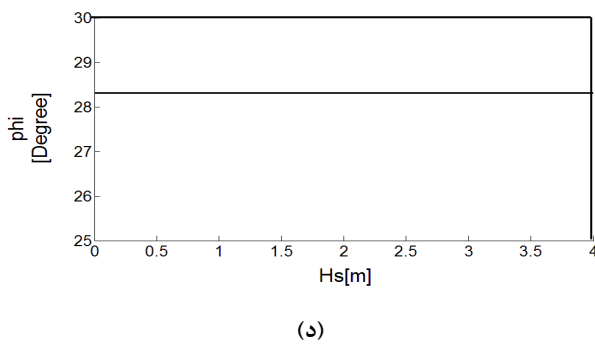
(الف): بیشترین گشتاور وارد بر بازو

(ب): بیشترین سرعت

(ج): بیشترین جابجایی

(د): زاویه‌ی تعادل

با مقایسه شکل‌های ۵-الف و ۵-ج می‌توان اظهار داشت افزایش بیشینه مقدار جابجایی مبدل تحت تأثیر امواج دریا نیز، موجب ازدیاد انرژی استحصالی می‌شود. شکل ۵-د نشان می‌دهد با



(d)

شکل ۷- تأثیر تغییرات ارتفاع موج بر عملکرد مبدل انرژی

- (الف): بیشترین گشتاور وارد بر بازو
- (ب): بیشترین سرعت
- (ج): بیشترین جابجایی
- (د): زاویه‌ی تعادل

از تحلیل تقریبی بر هم کنش آب و سازه به وسیله تئوری موج استوکس مرتبه‌ی پنجم و نیروی فرود کریلوف این نتیجه‌ی بدیهی به دست می‌آید که هر چه ارتفاع امواج دریا بلندتر باشد از لحظه میزان جابجایی سازه، سرعت زاویه‌ای به وجود آمده و گشتاور اعمالی برای عملکرد بهینه‌ی توربین جهت استحصال انرژی بیشینه مناسب‌تر است (شکل ۷- الف الی ۷- ج). می‌توان دریافت که زاویه‌ی تعادل سازه متأثر از پریود و ارتفاع موج نیست (شکل ۶- د و شکل ۷- د).

بدیهی است که تنها در امواج بسیار بلند است که احتمال برخورد سازه با دیواره وجود دارد که این مسئله را می‌توان با افزودن بر کمیت ضریب میرایی سیستم PTO رفع نمود. امواج بلند برای استحصال انرژی مناسب می‌باشند که البته بدیهی است که چنین ارتفاع و پریودهای موج بلندی برای دریای خزر عملاً امکان پذیر نبوده و مقادیر آن بسیار بیشتر از آن چیزی است که در این دریا اتفاق می‌افتد؛ لکن مناسب دیده شد تا عملکرد توربین WaveStar با مشخصات ذکر شده در مقاله‌ی حاضر، تحت دوره‌های تناوب و ارتفاع امواج بلند مورد تحلیل قرار گرفته و نتایج آن بررسی گردد.

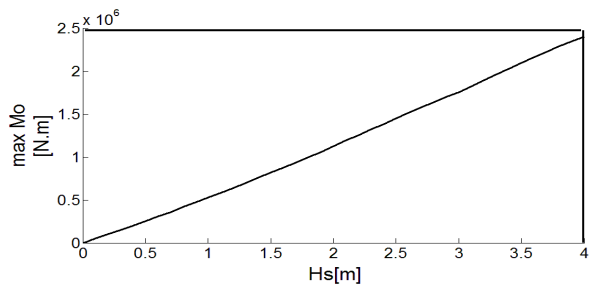
## ۶- نتیجه‌گیری

در پژوهش حاضر کارکرد مکانیزم توربین WaveStar تحت مشخصات امواج دریای خزر تحلیل شده و در ادامه پاسخ ارتعاشات سازه به امواج تحت تئوری موج منظم استوکس مرتبه‌ی پنجم بر مبنای محاسبه‌ی پارامترهای موج، در قالب نمودار ارائه و معادله‌ی دینامیکی ارتعاشات سازه استخراج گردیده است. بیشینه‌ی گشتاور اعمالی حول مفصل تحت حل تحلیلی برابر  $[kN.m] = 7/45$  و  $7/45$  بیشینه تغییرات زاویه‌ی نوسان  $14/73^\circ$  به دست آمده است. این تحقیق نشان می‌دهد که با افزایش طول بازو، گشتاور وارد به سیستم به صورت خطی افزایش می‌یابد. البته این افزایش اسباب

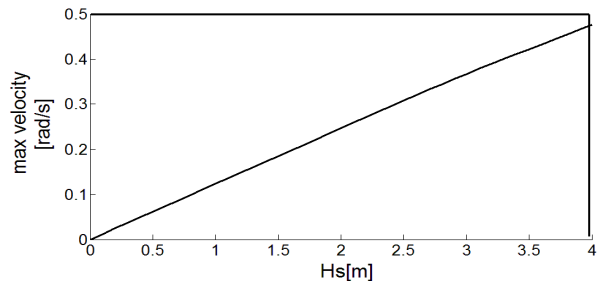
در گراف‌های شکل ۶ که طول بازو برابر ۱۰ متر و قطر بالشتک ۶ متر در نظر گرفته شده، ارتفاع موج ثابت و برابر  $1/75$  متر فرض شده است تا تنها اثرات ناشی از تغییر دوره تناوب امواج بر سازه مورد مطالعه و بررسی قرار گیرد. شکل ۶- الف نشان می‌دهد با افزایش دوره تناوب در بازه‌ی  $4 \text{ to } 5/7$  ثانیه همواره گشتاور وارد شده به بازو افزایش می‌یابد.

محدوده‌ی تغییرات دوره تناوب به گونه‌ای انتخاب شده است که بتوان با استفاده از نیروی فرود کریلوف به تحلیل رفتار مبدل انرژی پرداخت و از حرکت به سمت حالت‌های حدی که ممکن بود در آن‌ها تقریب استفاده از این فرضیه با چالش مواجه گردد پرهیز گشته است. با توجه به نمودارهای دیگر می‌توان این نتیجه‌گیری کلی را کرد که در این بازه از دوره‌ی تناوب، با افزایش این پارامتر مقدار استحصال انرژی، سرعت و جابجایی بازو به صورت خطی افزایش می‌یابد. (شکل ۶- ب الی ۶- ج)

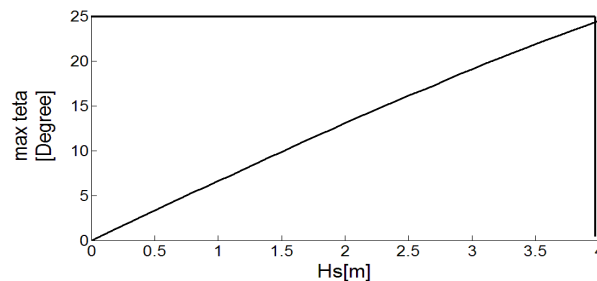
همچنین شکل‌های ۷- الف تا ۷- د نیز نتایج مربوط به بررسی تأثیر تغییر ارتفاع امواج دریا بر ارتعاشات مبدل WaveStar نمونه‌ی موردی در عمق ۲۰ متر را نشان می‌دهند که در آن‌ها پریود موج ثابت و برابر ۵ ثانیه فرض شده و طول بازو برابر ۱۰ متر و قطر بالشتک ۶ متر در نظر گرفته شده است.



(الف)



(ب)



(ج)

- 7- Alamian, R., Shafaghat, R., Miri, S.J., Yazdanshenas, N. and Shakeri, M., (2014), *Evaluation of Technologies For Harvesting Wave Energy in Caspian Sea*, Renewable and Sustainable Energy Reviews, Vol.32, p.468–476.
- 8- The Direction of Sea Current in the Caspian Sea. Available From: ([http://www.caspinfo.net/content/content.asp?menu=0130000\\_000000](http://www.caspinfo.net/content/content.asp?menu=0130000_000000)), [accessed 13.07.16].
- 9- Wave Height and Height of Caspian Sea. Available from: (<http://www.dmi.gov.tr/en-US/marine-metu3-detail.aspx?b=Hazar&t=H&s=03&g=p#sfB>), [accessed 24.06.13].
- 10- Mahmoudzadeh, K. and Jafari, F., (2005), *Study of Caspian Sea and its Circumference*, 2nd ed, Dabizesh Publication, Tehran, Iran.
- 11- Barstow, S. Mork, G. Lonseth, L. and Mathisen, J., (2009), *Worldwaves Wave Energy Resource Assessments from the Deep Ocean to the Coast*, European Wave and Tidal Energy Conference, p.149–59.
- 12- Marquis, L., Kramer, M., Krimgelum, J., Chozas, J. and Helstrup, N., (2012), *Introduction of WaveStar Wave Energy Converters at the Danish Offshore Wind Power Plant Horns*, Rev 2, International Conference on Ocean Energy (ICOE).
- 13- Kramer, M., (2004), *WaveStar Energy, WaveStar Bølgekraftmaskine 1:40 Skala Model*, Denmark, n.d.
- 14- WaveStar Energy converter. Available from: (<http://www.WaveStarEnergy.com>), [accessed 13.07.16].
- 15- Kramer, M., (2006), *Numerical Modeling of Oscillating Body for Wave Energy Extraction*, Technical Report, Department of Civil Engineering, Aalborg University, Denmark.
- 16- Marquis, L., Kramer, M. and Frigaard, P., (2010), *First Power Production Figures from the WaveStar Roshage Wave Energy Converter*, 3rd International Conference on Ocean Energy, Bilbao.
- 17- Iran Port & Maritime Organization, (2003), *The Second Phase of Sea Wave: of the Caspian Sea*, Administration of Coastal and Marine Engineering, Iran. (In Persian)
- 18- Golshani, A., Nakhaee, A., Taebi, S., Chegini, V. and Alaee, M.J., (2005), *Wave Hindcast Study of the Caspian Sea*, Journal of Marine Engineering, Vol. 1, p.19–25.
- 19- Millero, F.J. and Chetirkin, P.V., (1979), *The Density of Caspian Sea Waters*, Deep-Sea Research, Vol. 27, p.265-271.
- 20- Lotfollahi Yaghin, M.A. and Ahmadi, H., (2011), *Dynamics of Offshore Structures*, University of Tabriz, Tabriz, Iran. (In Persian)
- 21- Dean, R.G. and Dalrymple, R.A., (2002), *Water Wave Mechanics*, University of Florida, USA.
- 22- Sorensen, R.M., (2006), *Basic Coastal Engineering*, Springer Science, Business Media, Inc.

کاهش بیشینه‌ی جابجایی و سرعت را نیز فراهم می‌آورد؛ به طوریکه طول بهینه‌ی بازو طبق پارامترهای امواج دریای خزر می‌تواند در حدود ۹ الی ۱۱ متر انتخاب شود.

همچنین طبق بررسی‌های صورت گرفته عیان می‌گردد که با افزایش ۱/۵ برابر قطر بالشتک، گشتاور اعمالی به سازه حدود ۵ برابر رشد می‌کند. کاهش زاویه‌ی تعادل نیز از دیگر اثرات افزایش قطر بالشتک غوطه‌ور در آب است. لکن با توجه به اینکه نرخ تغییرات سرعت زاویه‌ای ماکزیمم بازو و جابجایی آن با تغییرات قطر بالشتک یکسان نیست، اما در نهایت در بازه‌ی مذکور با افزودن بر شعاع کره غوطه‌ور در آب هر دو مشخصه‌ی گشتاور تولیدی و سرعت زاویه‌ای نوسان افزایش می‌یابند.

در محدوده‌ی مورد نظر در این پژوهش برای دوره‌ی تناوب، با افزایش این پارامتر مقدار استحصال انرژی، سرعت و جابجایی بازو به صورت خطی افزایش می‌یابد. همچنین با توجه به تحلیل نیروی تحریک امواج معین شد که هر چه ارتفاع امواج دریا بلندتر باشد، این امواج از لحاظ میزان جابجایی، سرعت زاویه‌ای و گشتاور اعمالی در عملکرد بهینه‌ی توربین جهت استحصال انرژی بیشینه موثرتر هستند.

## کلید واژگان

- 1- Mean Water Level  
2- Power Take Off system

## ۷- مراجع

- 1- Villate, J., (2010), *Situacion Actual de Las Energías Marinas y Perspectivas de Futuro*, Seminario Anual de Automatica, Electronica e Instrumentacion (SAAEI).
- 2- Fonseca, N., Pessoa, J., Pascoal, Morais, T. and Dias, R., (2010), *Design Pressure Distributions on the Hull of the Flow Wave Energy Converter*, Ocean Engineering, Vol. 37, p.611–626.
- 3- Andersen, M., Argyriadis, K., Butterfield, S., Fonseca, N., Kuroiwa, T. and Le Boulluec, M., (2007), *Ocean Wind and Wave Energy Utilization*, Proceedings of the 17<sup>th</sup> International Ship and Offshore Structures Congress, Seoul.
- 4- Falcão, A., (2010), *Wave Energy Utilization: A Review of the Technologies*, Renewable and Sustainable Energy Reviews, Vol. 14, p.899–918.
- 5- Clément, A., McCullen, P., Falcão, A., Fiorentino, A., Gardner, F. and Hammarlund, K., (2002), *Wave Energy in Europe: Current Status and Perspectives*, Renewable and Sustainable Energy Reviews, Vol. 6, p.405–431.
- 6- López, A., Iraide. A.J., Ceballos, S., Alegría, I. and Kortabarria, I., (2013), *Review of Wave Energy Technologies and the Necessary Power-Equipment*, Renewable and Sustainable Energy Reviews, Vol. 27, p.413–434.

- 26- Wilson, J.F., (2002), *Dynamics of Offshore Structures*, 2nd Edition, ISBN: 978-0-471-26467-5.
- 27- Kornev, N., (2011), *Ship Dynamics in Waves*, Universität Rostock.
- 28- Larsen, M.M., (2013), *Time-Domain Simulation of Floating, Dynamic Marine Structures Using USFOS*, Department of Marine Technology, Norwegian University of Science and Technology.
- 23- Dawson, T.H., (1983), *Offshore Structural Engineering*, Prentice-Hall Inc.
- 24- LeMehaute, B., (1969), *An Introduction to Hydrodynamics and Water Waves*, Technical Report, Us Department of Commerce, USA.
- 25- Dean, R.G., (1970), *Relative Validity of Water Wave Theories*, Journal of Waterways Harbors and Coastal Engineering, ASCE 96.